

Г.Ф. Банах, О.К. Войцеховская, Н.Н. Трифонова

ОПРЕДЕЛЕНИЕ ИНТЕГРАЛЬНОЙ ИНТЕНСИВНОСТИ ПОЛОСЫ v_5 АЗОТНОЙ КИСЛОТЫ

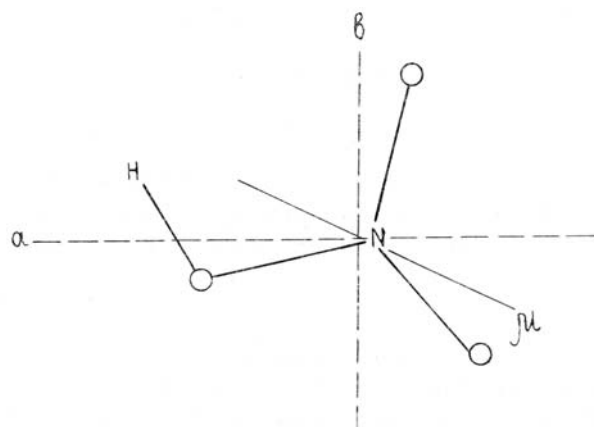
В результате теоретической интерпретации спектра азотной кислоты, зарегистрированного методом дидальной лазерной спектроскопии, получено значение интегральной интенсивности полосы v_5 HNO_3 , равное $(202 \pm 40) \text{ см}^{-2} \cdot \text{атм}^{-1}$. С найденным значением S_{v_5} проведен расчет интенсивностей линий, не участвовавших в обработке, и получено удовлетворительное согласие с экспериментом.

Исследование спектра азотной кислоты стимулировано задачами охраны окружающей среды и важной ролью этого соединения в фотохимии атмосферы [1, 2]. Для уверенной интерпретации результатов аэростатных, баллонных, спутниковых измерений нужны данные по параметрам спектральных линий паров HNO_3 , поэтому необходима разработка соответствующих методик.

Асимметричная молекула HNO_3 обладает только плоскостью симметрии и относится к группе C_s (в ранних работах встречается отнесение к группе C_{2v}). Систему координат, связанную с молекулой, обычно ориентируют [3, 4] по направлениям моментов инерции и обозначают индексами a , b , c , соответствующими наименьшему, среднему и наибольшему моменту.

Регистрация лабораторных спектров HNO_3 представляет значительные трудности из-за высокой реакционной способности молекулы, и известно лишь несколько работ, в которых получены экспериментальные спектры азотной кислоты [3,5–10], снятые с высоким разрешением ($\sim 10^{-4} \div 10^{-3} \text{ см}^{-1}$). Подробно проанализированы микроволновые спектры пяти изотопических модификаций молекулы в работе [3], и показано, что постоянный дипольный момент в молекуле расположен в плоскости (a , b) (см. рисунок), под углом $23^{\circ}57'$ к оси a . В результате измерений штарковского расщепления авторы [3] нашли $\mu_a^0 = 1,9666D$; $\mu_b^0 = 0,822D$ и полное значение $\mu_0 = |\mu_a^2 + \mu_b^2| = 2,17 \pm 0,02D$. Таким образом, молекула HNO_3 , обладая значительным постоянным дипольным моментом, имеет интенсивный вращательный спектр, поэтому ряд работ посвящен анализу чисто вращательных переходов в микроволновом диапазоне и определению спектроскопических констант гамильтониана основного колебательного состояния [7, 9] и гармонического силового поля [9]. Вместе с тем важная характеристика молекулы — функция дипольного момента — в литературе изучена недостаточно. Назовем работу [11], в которой определено значение $\frac{\partial \mu_b}{\partial Q_2}$ первой производной μ_b компоненты дипольного момента по нормальной координате Q_2 , и сооб-

щение [12], авторы которого определили производную $\frac{\partial \mu_a}{\partial Q_2}$ и уточнили значение $\frac{\partial \mu_b}{\partial Q_2}$.



Структура молекулы азотной кислоты (HNO_3)

Целью данной работы является определение интегральной интенсивности полосы v_5 HNO_3 и колебательных матричных элементов первой производной дипольного момента по нормальной координате Q_5 на основе экспериментальных данных [5]. В этой работе спектр HNO_3 получен методом дидальной лазерной спектроскопии и приведены положения и интенсивности пиков поглощения. Точность

определения центра линий составляет $\pm 0,005 \text{ см}^{-1}$, интенсивности порядка $\pm 20\%$. Все измерения проведены при температуре 296°К. Эти данные послужили основой для интерпретации спектра и определения спектроскопических констант эффективного вращательного гамильтониана [13, 14], что позволило нам провести идентификацию пиков поглощения.

Интенсивность колебательно-вращательной (КВ) линии рассчитывается по формуле

$$S_{V''R''}^{V'R'} = \frac{8\pi^3}{3hc} \frac{\gamma_{V''R''}^{V'R'}}{\gamma_0 Q_{VR}} g_{V''R''} n_0 \exp\left(-\frac{hc}{\kappa T} E_{V''R''}\right) \times \\ \times \left[1 - \exp\left(-\frac{hc\gamma_{V''R''}^{V'R'}}{\kappa T}\right)\right] | < V''R' | M_z | V''R'' > |^2 \cdot F_{V''R''}^{V'R'}, \quad (1)$$

где h , c , k , n_0 — функциональные постоянные; $\gamma_{V''R''}^{V'R'}$ — центры колебательной полосы и КВ линии; Q_{VR} — колебательно-вращательная статистическая сумма; $F_{V''R''}^{V'R'}$ — фактор колебательно-вращательного взаимодействия; V'' , V' , R'' , R' — все наборы колебательных и вращательных квантовых чисел нижнего и верхнего состояния перехода; $| < V''R' | M_z | V''R'' > |^2$ ($R'' = J''k''m''$) — матричные элементы первой производной дипольного момента находились по соотношению [12]

$$| M_{V''J''\tau'', V''J''\tau''} |^2 = \sum_{m''m'} \frac{3(2J''+1)}{2J''+1} | (1J''om''/J'm') |^2 \times \\ \times \left\{ | < V' | \mu_x | V'' > |^2 \cdot \left| \sum_{\kappa''} g_{\kappa''\tau''}^{[V'']} ((1J'' - 1\kappa''/J'\kappa') \cdot g_{\kappa''-1\tau'}^{[V']} - \right. \right. \\ \left. \left. - (1J''1\kappa''/J'\kappa') \cdot g_{\kappa''+1\tau'}^{[V']})^2 + | < V' | \mu_y | V'' > |^2 \times \right. \right. \\ \left. \left. \times \left| \sum_{\kappa''} g_{\kappa''\tau''}^{[V'']} ((1J'' - 1\kappa''/J'\kappa') g_{\kappa''-1\tau'}^{[V']} + (1J''1\kappa''/J'\kappa') \cdot g_{\kappa''+1\tau'}^{[V']}) \right|^2 \right\}, \quad (2) \right. \\ \tau = K_A - K_C.$$

Отсутствие оси симметрии приводит, к следующим правилам отбора по вращательным квантовым числам:

$$\Delta\kappa_A = 0, \pm 1, \pm 2 \dots; \Delta\kappa_C = \pm 1, \pm 2, \dots; \Delta J = 0, \pm 1,$$

Где $g_{\kappa''\tau''}^{[V']}$ — коэффициенты разложения вращательной волновой функции в базисе жесткого симметричного волчка; m'' — магнитное квантовое число; $(1J'' - 1\kappa''/J'\kappa')$ и т.д. — коэффициенты Клебша — Гордона. Расчеты величины (1) проводились на базе программного средства [15], в качестве исходных данных для расчета энергетических уровней использовались константы гамильтониана в форме Уотсона [14] до секстичных постоянных включительно. Величину $F_{V''R''}^{V'R'}$ в данном случае можно считать равной 1, так как молекула достаточно тяжелая, и приближение жесткого волчка вполне оправдано. Тогда значения $\langle V'' | \mu_a | V' \rangle$, $\langle V'' | \mu_b | V' \rangle$ можно найти из набора интенсивностей отдельных линий и рассчитать $S_{V''V'}$ для фундаментальной полосы [16]:

$$S_{V''V'} = \frac{8\pi^3}{3hc} \frac{n}{Q_V} \sum_{g=a,b} | < V'' | \mu_g | V' > |^2. \quad (3)$$

Наибольшие затруднения в данной работе вызывала задача идентификации пиков поглощения, зарегистрированных в [5], с рассчитанными нами по начальному приближению $\langle \mu_a \rangle$, $\langle \mu_b \rangle$ линиями. Спектр HNO₃ характеризуется значительной плотностью линий и каждый пик представляет собой суперпозицию большого числа КВ переходов. В эксперименте расстояние между пиками порядка $0,01 \div 0,001 \text{ см}^{-1}$, что перекрывалось погрешностью расчета центров. Поэтому критерием выбора линий поглощения для обработки с целью получения значений были переходы, идентифицированные в работе [13], не перекрывающиеся с линиями полосы 2v₉ и представляющие собой одиночные линии, т. е. пики поглощения, которые можно было отнести к одному колебательно-вращательному переходу.

**Сравнение экспериментальных и рассчитанных интенсивностей
линий полосы ν_5**

$\nu_{\text{эксп.}}$	Квантовые числа *						$S_{\text{эксп.}}$ см/мол·10 ²¹	$S_{\text{расч}}$ см/мол·10 ²¹	$\delta \%$
	1	2							
891,246	30	0	30	29	0	29	6,89	7,06	2,5%
891,258	29	1	28	28	1	27	6,85	6,607	3,5%
891,271	28	2	26	27	2	25	6,06	6,18	2%
891,286	27	3	24	26	3	23	6,22	5,77	7%
891,627	31	0	31	30	0	30	7,02	6,86	2,2%
891,641	30	1	29	29	1	28	6,94	6,44	7%
891,654	29	2	27	28	2	26	6,23	6,038	3%
891,669	28	3	25	27	3	24	6,74	5,66	16%
891,687	27	4	23	26	4	22	6,27	5,29	15%
892,002	32	0	32	31	0	31	6,73	6,649	1%
892,017	31	1	30	30	1	29	7,07	6,252	11%
892,032	30	2	28	29	2	27	6,14	5,878	4%
892,048	29	3	26	28	3	25	5,51	5,524	0,3%
892,064	28	4	24	27	4	23	6,72	5,186	23%
892,090	27	5	22	26	5	21	5,74	4,86	15%
892,376	33	0	33	32	0	32	5,72	6,42	12%
892,390	32	1	31	31	1	30	5,38	6,05	12%
892,405	31	2	29	30	2	28	6,35	5,70	10%
892,420	30	3	27	29	3	26	5,55	5,374	3%
892,438	29	4	25	28	4	24	4,36	5,06	16%
892,459	28	5	23	27	5	22	4,47	4,76	6%
892,756	34	0	34	33	0	33	5,38	6,185	15%
892,775	33	1	32	32	1	31	5,11	5,839	14%
892,788	32	2	30	31	2	29	4,84	5,515	14%
892,803	31	3	28	30	3	27	4,48	5,21	16%
892,821	30	4	26	29	4	25	6,44	4,92	23%
892,842	29	5	24	28	5	23	3,88	4,64	19%
893,135	35	0	35	34	0	34	4,92	5,93	20%
893,150	34	1	33	33	1	32	3,35	5,60	67%
893,166	33	2	31	32	2	30	3,21	5,31	65%
893,181	32	3	29	31	3	28	3,40	5,03	48%
893,197	31	4	27	30	4	26	3,07	4,76	55%
893,217	30	5	25	29	5	24	2,94	4,51	53%
893,243	29	6	23	28	6	22	3,25	4,26	31%
893,500	36	0	36	35	0	35	5,10	5,68	11%
893,517	35	1	34	34	1	33	4,99	5,38	8%
893,533	34	2	32	33	2	31	5,39	5,108	5%
893,549	33	3	30	32	3	29	4,24	4,84	14%
893,566	32	4	28	31	4	27	5,00	4,60	8%
893,585	31	5	26	30	5	25	3,38	4,36	29%
893,609	30	6	24	29	6	23	3,33	4,139	24%
893,646	29	7	22	28	7	21	3,41	3,70	8%
893,872	37	0	37	36	0	36	3,60	5,42	50%
893,889	36	1	35	35	1	34	3,96	5,14	29%
893,905	35	2	33	34	2	32	3,97	4,89	23%
893,922	34	3	31	33	3	30	3,31	4,65	40%
893,939	33	4	29	32	4	28	3,79	4,426	16%

Продолжение табл. 1

1	2						3	4	5
893,958	32	5	27	31	5	26	3,15	4,20	33%
893,981	31	6	25	30	6	24	4,53	4,004	11%
894,010	30	7	23	29	7	22	2,96	3,80	28%
894,246	38	0	38	37	0	37	6,49	5,165	20%
894,265	37	1	36	36	1	35	6,06	4,91	19%
894,281	36	2	34	35	2	33	6,60	4,673	29%
894,298	35	3	32	34	3	31	4,95	4,452	10%
894,315	34	4	30	33	4	29	4,23	4,24	0,3%
894,333	33	5	28	32	5	27	5,22	4,047	22%
894,355	32	6	26	31	6	25	3,64	3,859	6%
894,381	31	7	24	30	7	23	4,35	3,677	15%
894,425	30	8	22	29	8	21	4,27	3,32	22%
894,612	39	0	39	38	0	38	7,51	6,23	17%
894,631	38	1	37	37	1	36	5,14	4,666	9%
894,649	37	2	35	36	2	34	4,99	4,448	10%
894,666	36	3	33	35	3	32	4,79	4,246	11%
894,684	35	4	31	34	4	30	4,96	4,056	18%
894,702	34	5	29	33	5	28	4,25	3,877	8%
894,723	33	6	27	32	6	26	3,69	3,706	0,4%
894,748	32	7	25	31	7	24	3,53	3,54	0,3%
894,783	31	8	23	30	8	22	3,17	3,38	6%
894,981	40	0	40	39	0	39	4,08	4,639	13%
895,001	39	1	38	38	1	37	4,92	4,42	10%
895,018	38	2	36	37	2	35	4,10	4,22	3%
895,036	37	3	34	36	3	33	5,93	4,038	32%
895,053	36	4	32	35	4	31	4,36	3,865	11%
895,072	35	5	30	34	5	29	3,38	3,70	9%
895,092	34	6	28	33	6	27	3,27	3,547	8%
895,116	33	7	26	32	7	25	4,09	3,398	17%
895,146	32	8	24	31	8	23	3,05	3,25	6%
895,340	41	0	41	40	0	40	4,11	4,378	6%
895,361	40	1	39	39	1	38	5,42	4,179	22%
895,379	39	2	37	38	2	36	4,88	3,996	18%
895,398	38	3	35	37	3	34	4,87	3,828	21%
895,415	37	4	33	36	4	32	4,68	3,67	21%
899,433	36	5	31	35	5	30	5,20	3,52	32%
895,454	35	6	29	34	6	28	4,68	3,38	27%
895,476	34	7	27	33	7	26	3,21	3,249	1%

* Квартеты линий.

Применяя принцип метода наименьших квадратов и используя результаты предварительного расчета и данные эксперимента [5], получены значения $\mu_a^{(5)}, \mu_b^{(5)}$ равные:

$$\langle V'' | \mu_a^{(5)} | V' \rangle = \pm 0,1035242 D; \quad \langle V'' | \mu_b^{(5)} | V' \rangle = \pm 0,1328900 D.$$

Обращаясь к соотношению (3), находим $S_{V'V}^{(5)} = 202,5667 \text{ см}^{-2} \text{ атм}^{-1}$.

Значения Q_V, Q_R рассчитывались по приближенным формулам [17], причем собственные частоты заимствовались из работы [18].

Обсудим полученное значение интенсивности. В работе [19] приводится суммарное значение интегральных интенсивностей полос v_5 и $2v_9$, равное $582 \text{ см}^{-2} \text{ атм}^{-1}$ при $T = 313^\circ\text{K}$. Далее, согласно работе [18] интегральные интенсивности обеих полос близки между собой по величине. Авторы [18]

ввели семь качественных оценок: VVS; VS; S; M; W; VW; VVW и отнесли полосы v_5 и $2v_9$ к одной и той же категории S , что косвенно подтверждает правильность полученного нами значения.

Проверка полученных значений $|\mu_a^{(5)}|^2, |\mu_b^{(5)}|^2$ заключалась в расчете интенсивностей линий, не участвовавших в обработке. Для этой процедуры выбраны линии, центры и квантовая идентификация которых приведены в табл. 2 работы [14], так как согласно указанию авторов [14] эти линии можно отнести к уверенно идентифицированным. Но следует отметить, что в указанной работе представлено отнесение экспериментальной линии к одному переходу, в то время как наши расчеты показывают, что большинство из них представляет собой квартет линий с квантовыми числами

$$\begin{array}{ccccccc} J'' & \kappa_A'' & \kappa_c'' & J' & \kappa_A' & \kappa_C' \\ J'' & \kappa_A \pm \Delta \kappa_A'' & \kappa_c \pm \Delta \kappa_c'' & J' & \kappa_A' \pm \Delta \kappa_A' & \kappa_C' \end{array} (\Delta \kappa', \Delta \kappa'' = 0, \pm 1),$$

так как практически уровни с одинаковыми κ_A для молекулы HNO_3 вырождены, что отмечено в работе [13]. Подтверждением этого могут служить также значения вращательных уровней основного колебательного состояния, приведенные в работе [7], которые, начиная с $J \sim 10$, для состояний с одинаковыми κ_A совпадают до шестой цифры после десятичного знака. Сравнение рассчитанных и экспериментальных значений интенсивностей линий с найденными значениями $\langle V'' | \mu_{a(b)} | V' \rangle$ приведены в табл. 1.

Проведенный ниже анализ данных показывает, что полученные величины матричного элемента дипольного момента могут служить основой для расчета вращательной структуры полосы v_5 . Общее число предсказанных линий равнялось 85, для 15 линий величина отклонения $\delta = \left| \frac{S_{\text{эксп}} - S_{\text{расч}}}{S_{\text{эксп}}} \right| 100\%$ составляла менее 5%, для 45 линий $- 5 < \delta < 20\%$, для остальных линий $- \delta > 20\%$. Среднее отклонение $\delta = \sum_i \frac{\delta_i}{N}$ оказалось равным 16,8%, что не превысило погрешности эксперимента (20%). Минимальное и максимальное отклонения $- 0,3\%$ и 67% соответственно.

Имеющиеся расхождения (в ряде линий довольно значительные), на наш взгляд, объясняются пренебрежением колебательно-вращательным взаимодействием при расчете интенсивностей. Действительно, состояния v_5 и $2v_9$ связаны резонансом Ферми ($\Delta E \sim 17 \text{ см}^{-1}$) и возможно также Кориолисово взаимодействие. Но эти вопросы представляют собой предмет дополнительного исследования, для которого необходимы спектры HNO_3 , зарегистрированные с более высоким спектральным разрешением.

1. Мак-Ивен М., Филлипс Л. Химия атмосферы — М.: Мир, 1976. — 375 с.
2. Kunde V.G., Brasunas J.C., Coutrath B.J. et al. — Appl Opt., 1987, v. 26, N. 3, p. 545.
3. Cox A.P., Riveros J.M. — J. Chem. Phys., 1965, v. 42, № 7, c. 3106.
4. Таунс Ч., Павлов А. — Радиоспектроскопия. М.: ИЛ, 1959, с. 736.
5. Brockman Ph., Bair C.H., Allario F. — Appl. Opt., 1988, v. 17, N 1, p. 91.
6. Bair C.H., Brockman Ph. — Appl. Opt., 1979, v. 18, N. 24, p. 4152.
7. Cazzoli G., Lucia F.G. — J. Mol. Spectr., 1979, v. 76, p. 131.
8. Chevillard J.-P., Girandel R. — J. Phys., 1978, v. 39, p. 517.
9. Ghosh P.N., Blom C.E., Bauder A. — J. Mol. Spectr. v. 89, p. 159.
10. Maki A.G., Wells J.S. — J. Mol. Spectr., 1980, N. 2, p. 427.
11. Farrow L.A., Richton R.E. — J. Chem. Phys., 1981, v. 74, N. 10, p. 5474.
12. Войцеховская О.К., Конусов Ф.В., Черепанов В.Н. — Изв. вузов, Физика, 1986, N 2, с. 114.
13. Dana V. — Spectrochim. Acta, 1978, v. 34A, p. 1027.
14. Maki A.G., Wells J.S. — J. Mol. Spectr., 1984, v. 108, p. 17.
15. Войцеховская О.К., Макушкин Ю.С., Трифонова Н.Н., Черепанов В.Н. — Программа расчета центров и интенсивностей колебательно-вращательных линий молекул типа асимметричного волтика (имя программы YDIGEL) ГОСФАП, № П004348, 1980. — 53 с.
16. Rao K.N., Rinsland C.P., Smith M.A.H., Fridovich B. Molecular Spectroscopy: Modern Research. — N. Y., 1985, p. 111.
17. Герцберг Г. Колебательные и вращательные спектры многоатомных молекул. — М.: ИЛ, 1949. — 647 с.
18. McGraw G.E., Bermitt D.L., Hisatsune I.C. — J. Chem. Phys., 1965, v. 42, N. 1, p. 237.
19. Goldman A., Kyle T.G., Вопомо P.S. — Appl. Opt., 1971, v. 10, N. 1, p. 65.

Институт оптики атмосферы
СО АН СССР, Томск

Поступила в редакцию
31 декабря 1987 г.

G. F. Banakh, O. K. Voitsekhovskaya, N. N. Trifonova. **Determination of the v_5 -Band Total Intensity of HNO_3 .**

HNO_3 absorption spectrum measured by diode laser spectroscopy was theoretically interpreted to yield a v_5 -band total intensity of $202 \pm 40 \text{ cm}^{-2} \text{ atm}^{-1}$. This value was used for calculating of the spectral line intensities not fitted by the least-squares procedure. The resulting data showed reasonable agreement with experiment.